

26032

М В О  
ПОЛИТЕХНИЧЕСКИЙ ИНСТИТУТ им. М. И. КАЛИНИНА

Инженер ШЕРЕМЕТЬЕВ В. С.

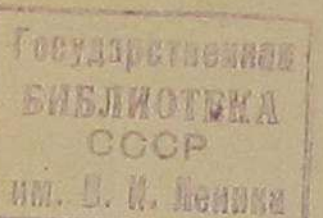
ФР 50  
1105

ИССЛЕДОВАНИЕ РАБОТЫ ТОПКИ  
СКОРОСТНОГО ГОРЕНИЯ  
НА ДРЕВЕСНЫХ ОТХОДАХ  
ЛЕСОЗАГОТОВОК И ДЕРЕВООБРАБОТКИ

АВТОРЕФЕРАТ  
диссертации на соискание ученой степени  
кандидата технических наук

ОБЯЗАТЕЛЬНЫЙ  
ЭКЗЕМПЛЯР

ЛЕНИНГРАД  
1958



58-52126

## ЦЕЛЬ И ЗАДАЧИ РАБОТЫ

В директивах XX съезда КПСС по шестому пятилетнему плану развития народного хозяйства СССР на 1956—60 г. перед Лесной промышленностью поставлена задача «создать на лесозаготовках устойчивую энергетическую базу путем строительства электростанций, работающих на древесных отходах». Электростанции леспромхозов должны надежно работать на местном топливе — древесных отходах и неликвидной древесине, обеспечивая централизованное снабжение электрической энергией лесосеку и верхний склад, механизированный нижний склад, цехи по деревообработке и жилой поселок.

Неоднократно отмечалось, что «при проведении механизации лесозаготовок министерством Лесной промышленности допущено большое отставание с созданием энергетической базы в леспромхозах. Применяемые на лесозаготовках передвижные электростанции мощностью 10—40 квт являются неэкономичными и на обслуживании их занято много рабочих».

Применение в стационарных локомобильных электростанциях выносных шахтно-ступенчатых топок для сжигания древесного топлива вызывает значительные затруднения. Эти топки имеют громоздкую конструкцию и для установки требуют сооружения топочного подвала (водонепроницаемого при высоком уровне грунтовых вод) и большего количества металла для колосниковых решеток.

Кроме того, при работе на мелких древесных отходах и опилках они резко снижают свою производительность, сжигание мелких отходов возможно только в смеси с крупнокусковыми отходами и дровами.

Эти недостатки становятся особо существенными применительно к котлоагрегатам малой мощности. Отсюда вытекает необходимость создания малогабаритной и простой топки для интенсивного и экономичного слоевого сжигания мелких древесных отходов и, особенно, отходов повышенной влажности.

В числе разрабатываемых в СССР методов повышения интенсивности топочных процессов представляет значительный интерес метод скоростного сжигания топлива в «зажа-

Экспериментальная часть диссертационной работы выполнялась:

1. На кафедре теплотехники ЛТА им. С. М. Кирова.
2. В лаборатории кафедры теплофизики ЛПИ им. М. И. Калинина.
3. На Охтенском и Харовском лесозаводах.
4. В Крестецком леспромхозе.

том слое» (работы В. В. Померанцева в ЦКТИ) с точки зрения создания высокопроизводительных топочных устройств. Наряду с другими методами вихревого сжигания в циклонных топках (работы проф. Г. Ф. Кнорре, инж. А. Н. Ковригина и др.) и пневматических топках (работы канд. техн. наук А. А. Шершнева), метод интенсивного слоевого сжигания древесных отходов в топках скоростного горения заслуживает должного внимания.

Настоящая работа является первой попыткой создания топки скоростного горения к установкам малой производительности для работы на опилках и прочих мелких древесных отходах. Предложенная автором кирпичная зажимающая решетка позволила осуществить топку скоростного горения под котлами малой мощности без каких-либо изменений их конструкции.

В настоящей работе автором были поставлены следующие задачи:

1. Получение опытных и расчетно-проектных показателей — коэффициента избытка воздуха, теплонапряжений активного слоя и топочного объема, тепловых потерь от химического и механического недожогов.

2. Выяснение условий работы шахты по высокотемпературной сушке древесных отходов, ее формы и количества пережимов в зоне активного горения.

3. Работу пережимов и золонакопление в активной зоне шахты.

4. Определение оптимальных конструктивных размеров и прочности кирпичной зажимающей решетки.

Исследования работы топок скоростного горения в эксплуатационных условиях позволили определить основные расчетно-технические параметры топок к локомобилям и стационарным котлам малой мощности и рекомендовать их для проектирования.

### Схема топки для древесных отходов

Основным недостатком существующих топок к котлам малой мощности, предназначенных для сжигания древесных отходов, является незначительная интенсивность горения слоя.

Опыты по сжиганию мелких древесных отходов показывают, что при превышении определенного предела давления дутьевого воздуха, в слое образуются отдельные кратеры и древесная мелочь выносится из слоя. Проникновение через кратеры большого количества холодного воздуха, помимо значительного увеличения теплопотерь с уходящими газами и с механическим недожогом, нарушает общий температурный

режим топки и приводит к ослаблению верхнего зажигания слоя влажных древесных отходов.

Исследуемая топка скоростного горения при сжигании в ней мелких древесных отходов отмеченных недостатков не имеет, так как работает по полугазогенераторному процессу. Принципиальная схема топки показана на рис. 1. В слое происходит образование горючих газов и выход продуктов сухой перегонки древесины, в топочной камере производится дожигание продуктов газификации за счет подаваемого вторичного воздуха.

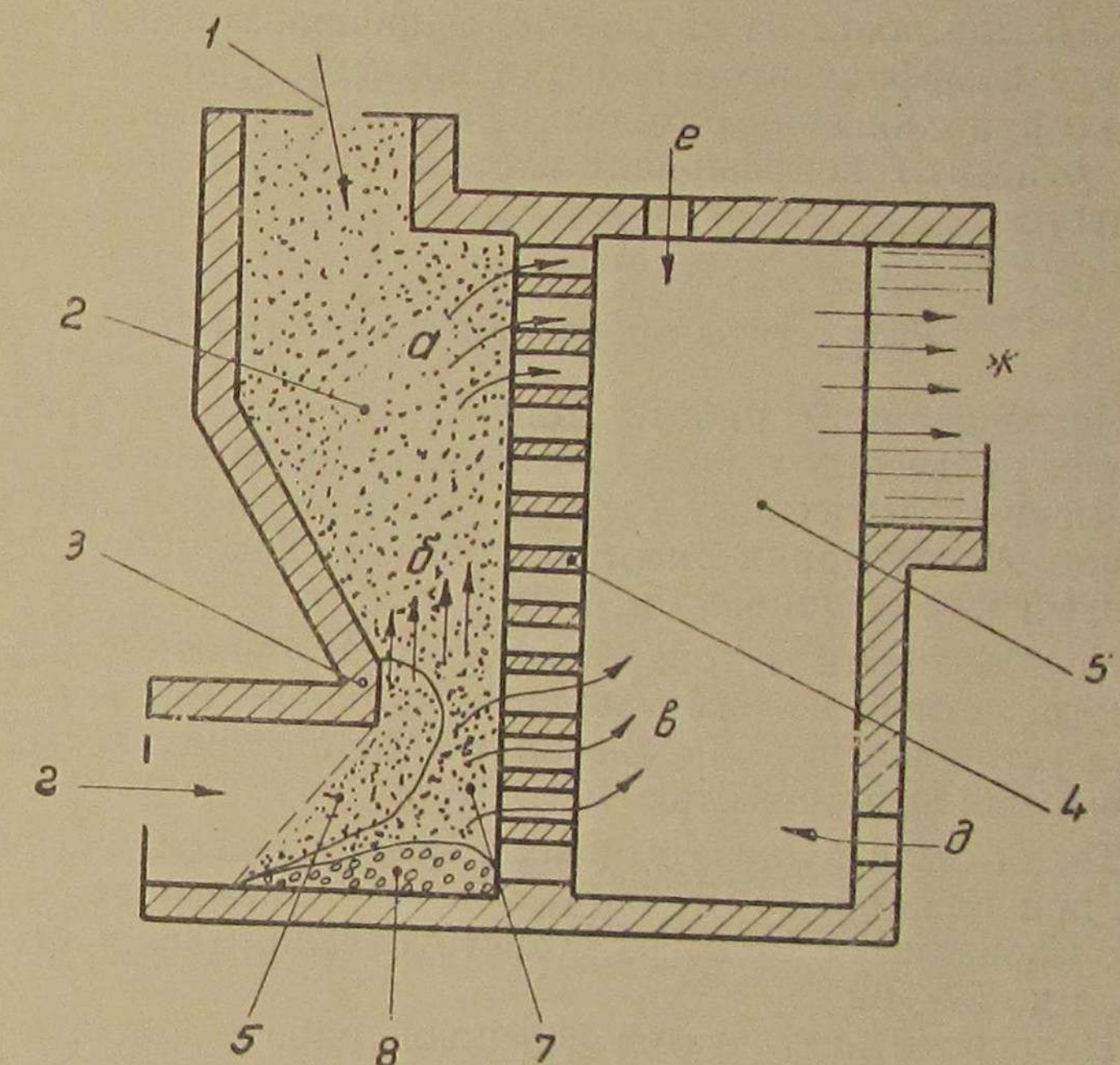


Рис. 1

1. Подача топлива. 2. Шахта топки. 3. Пережим топки. 4. Зажимающая решетка. 5. Камера горения. 6. Зона активного горения. 7. Зона газификации топлива. 8. Накопление золы.

*а* — выход паров влаги и легких продуктов термического разложения древесины.

*б* — газы с высокой температурой.

*в* — горючие газы, образующиеся в слое, смолы и продукты глубокого разложения древесины.

*г* — первичный воздух (70%) в зону активного горения.

*д* — вторичный воздух (30%) в камеру горения.

*е* — добавочный воздух.

*ж* — дымовые газы с высокой температурой (1100—1200° С).

Подогрев и подсушка топлива осуществляется в шахте, где навстречу опускающемуся топливу из зоны активного горения направляется поток горячих газов б. Стадия активного горения разожженного слоя форсируется дутьем первичного воздуха г при искусственно повышенной аэродинамической устойчивости слоя. Это достигается применением кирпичной зажимающей решетки, предупреждающей нарушение устойчивости слоя и образование кратеров при высоких скоростях выхода газов в.

В топках, работающих по этой схеме, практически достигнуты тепловые напряжения слоя активной зоны в пределах 2,5—8,0 млн. ккал на кв. м. час, а процесс горения легко ведется с коэффициентом избытка воздуха порядка 1,1—1,2 и только при сжигании отходов с высокой влажностью (55—60% относит.) коэффициент избытка воздуха несколько повышается.

### Результаты производственных опытов

Исследованиям работы топок скоростного горения на мелких древесных отходах от деревообработки, а также измельченных лесосечных отходах предшествовал длительный период эксплуатации опытных топок у локомобилей и под котлами малой мощности.

Первая опытная топка скоростного горения с зажимающей решеткой из огнеупорного кирпича (проект автора) была установлена в Лисинском учебно-опытном лесхозе ЛТА у локомобиля мощностью 100 л. с.

Топка была пущена в ноябре 1947 г. и работала на опилках при влажности 45—55%, а в отдельные периоды, когда использовались отходы из старого отвала, влажность возрастила до 57—62%.

На основе результатов успешной работы топки в Лисинском лесхозе в дальнейшем были построены топки скоростного горения; на Харовском лесозаводе, Крестецком ЛПХ и др. предприятиях к локомобилям разных типов мощностью до 330 л. с. и под котлами малой производительности (1—5 т/час).

Исследования работы топок проводились в производственных условиях при сжигании древесных отходов в широком диапазоне влажности (от 40—72%) и различном фрикционном составе.

Учитывая известные расхождения в условиях проведения опытов, некоторые данные эксперимента обрабатывались методом статистического исчисления, предложенного проф. А. К. Митропольским.

Таблица 1

Наименование показателей	Влажность рабочего топлива в %						
	Единица измерения	44,2	49,0	51,0	56,0	62,0	64,0
<b>Т о п л и в о</b>							
Теплотворная способность . . . . .	ккал/кг	2240	2000	1890	1640	1340	1240
Напряжение поверхн. нагрева . . . . .	к2/м <sup>2</sup> час	28,6	24,6	22,8	20,0	13,7	14,0
Тепловое напряжение зоны горения . . . . .	ккал/м <sup>2</sup> час	2,6 · 10 <sup>6</sup>	2,1 · 10 <sup>6</sup>	2,0 · 10 <sup>6</sup>	1,9 · 10 <sup>6</sup>	1,3 · 10 <sup>6</sup>	1,4 · 10 <sup>6</sup>
То же, топочного объема . . . . .	ккал/м <sup>3</sup> час	376 · 10 <sup>3</sup>	400 · 10 <sup>3</sup>	382 · 10 <sup>3</sup>	363 · 10 <sup>3</sup>	250 · 10 <sup>3</sup>	270 · 10 <sup>3</sup>
Давление воздуха первичн./вторичн. . . . .	м.м.в. ст.	36/8	20/14	11/4	18/4	16/0	17/0
Разрежение в топке . . . . .	"	4,3	1,8	0,6	1,6	4,0	3,2
Разрежение за котлом . . . . .	"	12,4	4,3	4,4	6,2	5,2	6,0
Температура в топке . . . . .	°С	1100	1080	1080	980	920	880
Температура уходящих газов . . . . .	°С	290	318	295	290	280	250
СО <sub>2</sub> в уходящих газах . . . . .	%	17,0	15,5	15,6	13,6	13,0	12,5
Коэффициент избытка воздуха . . . . .	%	1,1	1,2	1,16	1,3	1,43	1,5
К.п.д. котла . . . . .	%	68,0	74,5	72,2	67,4	66,6	62,4
Потеря тепла с уходящими газами . . . . .	%	15,2	17,3	18,3	20,5	22,0	23,4
Потеря тепла с химическим недожогом . . . . .	%	4,8	6,0	6,8	8,0	6,0	8,0

Средние показатели работы топок скоростного горения на опилках и мелких древесных отходах под котлами малой мощности и локомобилями приведены в таблицах и графиках, помещенных в работе. В автореферате приводится только таблица 1 и рис. 2, 3, 4.

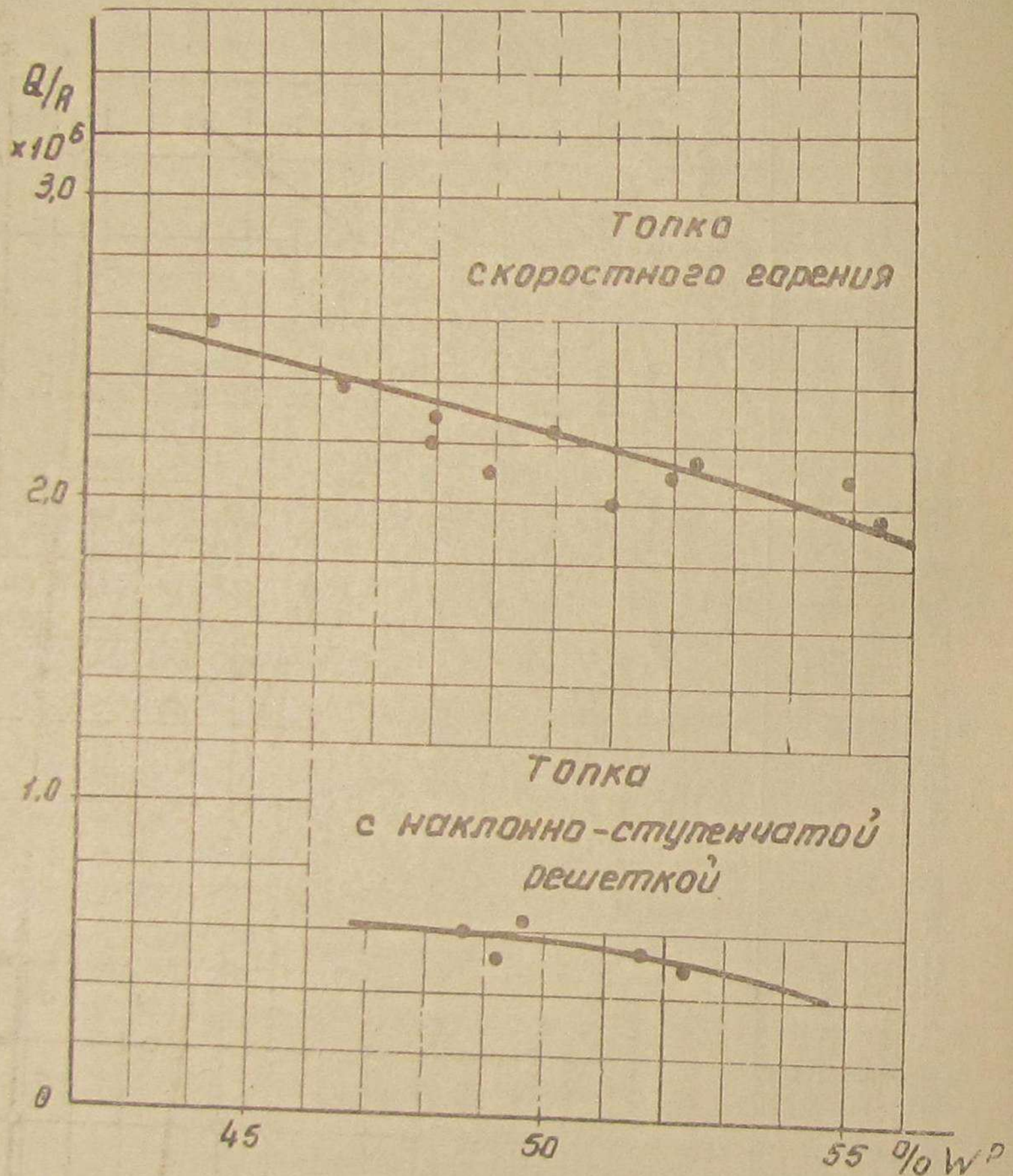


Рис. 2

Полученные достаточно высокие показатели работы топки скоростного горения с кирпичной зажимающей решеткой при возможности сжигать высоковлажные мелкие древесные отходы; надежность работы и простота обслуживания; малые габариты, отсутствие необходимости постройки подвала и низкая строительная стоимость топки, определили массовое внедрение нового топочного устройства в промышленность.

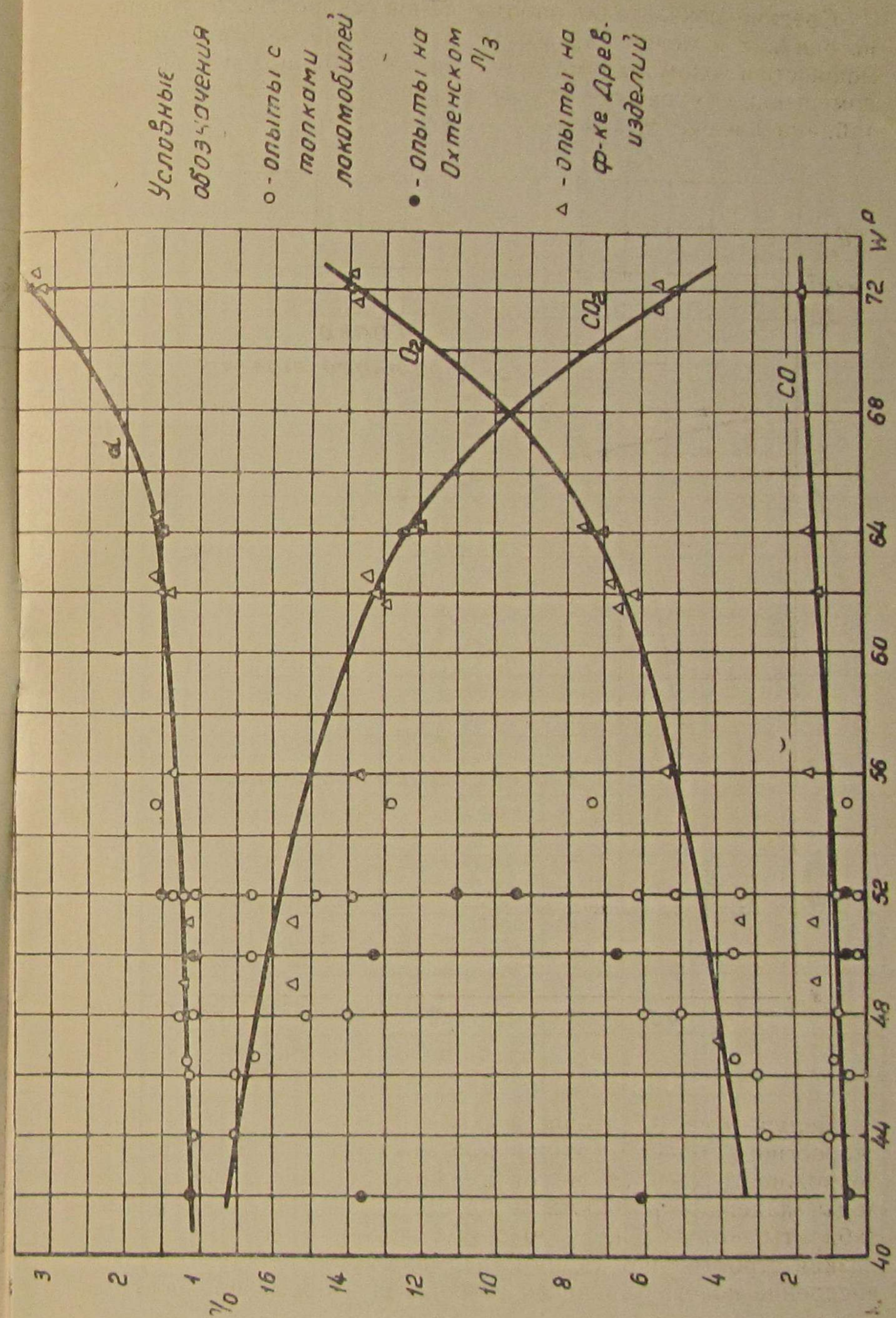


Рис. 3

## Исследования работы шахты

Учитывая важную роль шахты в процессе горения, в которой осуществляется подсушка топлива, в работе проведены экспериментальные исследования и теоретические расчеты тепловых процессов в шахте. Изучение процессов подсушки влажных древесных отходов в шахте значительно усложняется тем, что по всей высоте зажимающей решетки происходит непрерывный отсос части газообразных продуктов из шахты в камеру горения, поэтому процесс подсушки идет по смешанной противоточно-перекрестной схеме.

Экспериментальным путем были определены значения: температуры топлива и газа, влажности топлива и состав сушильного газа по зонам шахты и построены кривые изменения этих величин по высоте шахты.

Для определения количества сушильного газа, проходящего по зонам в шахте, составлялись уравнения теплового баланса для каждой зоны с расчетом на 1 кг абс. сухого топлива.

### Приход топлива

- 1) Тепло с топливом при входе в зону

$$Q_m = G_m C_m t_m + W_{ab} C t_{vl}.$$

- 2) Тепло от проходящего сушильного газа

$$Q_g = G_g C_g (\delta_{g, \text{вх}} - \delta_{g, \text{вых}}).$$

- 3) Тепло от химической реакции в зоне

$$Q_x = O_2 \cdot q,$$

где  $q$  — ккал (на 1%  $O_2$  — кислорода).

### Расход тепла

- 1) Тепло с топливом при выходе из зоны

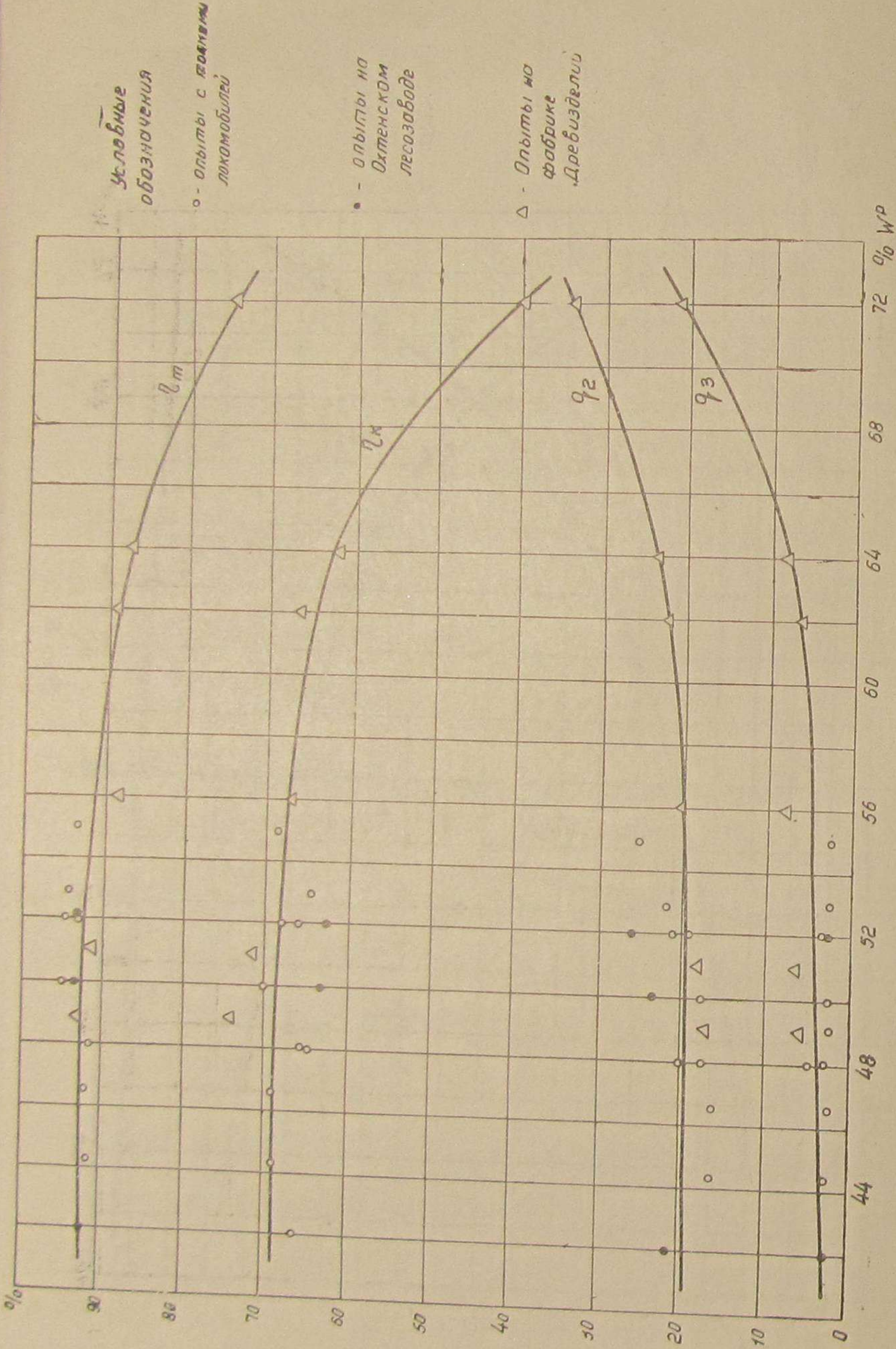
$$Q_m' = G_m C_m t_m' + W_{ab} C t_{vl}'.$$

- 2) Тепло на испарение влаги

$$Q_{vl} = (W_{ab} - W_{ab}') (i - i_m').$$

На основании решения этих уравнений выявлено, что через первую зону проходит около 30% газа, через вторую зону около 20% и через третью зону около 12%.

Исследования этого вопроса позволяют сделать заключение, что имеется полная возможность уменьшить высоту шахты и зажимающей решетки, а следовательно и общих габаритов топки и всей котельной установки в целом.



Это может иметь актуальное значение для установок при сжигании древесных отходов стабильной влажности.

Однако, осуществить это мероприятие не представляется возможным в условиях переменной влажности древесных отходов, что обычно имеет место на лесопильных заводах.

Поэтому эмпирически подобранное соотношение высоты зажимающей решетки над пережимом и проведенной на большем количестве установок следует определять:

$$h = 3x.$$

где  $h$  — высота шахты над первым пережимом в  $мм$  и  $x$  — ширина первого пережима в  $мм$ .

Для качественной оценки скорости протекания процессов сушки в шахте, интересно иметь представление об интенсивности теплообмена в объеме слоя топлива по зонам сушки в шахте.

К рассмотрению этого вопроса составим дифференциальные уравнения теплового баланса и теплообмена для элемента слоя, в котором процесс протекает по схеме противотока. При этом учтем количество тепла, дополнительно выделяющегося при горении в слое.

Для элемента слоя высотой  $dH$ , считая, что в шахте проходит стационарный процесс, уравнение теплового баланса будет:

$$g_m r \frac{dW}{dH} dH = -g_2 C_2 \frac{d\delta_2}{dH} dH - Q_{O_2} g_2 \frac{dO_2}{dH} dH,$$

где:  $g_m$  ( $кг/м^2 \text{ч}$ ) — весовой расход сухого топлива через единицу поперечного сечения слоя в час,

$r$  ( $ккал/кг$ ) — количество тепла, затрачиваемое на нагрев топлива, испарение 1  $кг$  влаги и потерю в окружающую среду,

$W$  — абсолютная влажность топлива,

$H$  ( $м$ ) — высота слоя зоны подсушки,

$g_2$  ( $нм^3/м^2 \text{ч}$ ) — объемный расход газа через единицу сечения слоя в час,

$C_2$  ( $ккал/нм^3 \text{°C}$ ) — объемная теплоемкость газа,

$\delta_2$  ( $°C$ ) — температура сушильного газа,

$Q_{O_2}$  ( $ккал/нм^3 \text{ } \% O_2$ ) — количество тепла, выделяющегося с 1  $м^3$  газа на 1  $\%$  убыли кислорода,

$O_2$  ( $\%$ ) — содержание кислорода в сушильном газе.

После преобразования получим уравнение:

$$C_2 \frac{d\delta_2}{dH} + Q_{O_2} \frac{dO_2}{dH} = -\frac{g_m}{g_2} r \frac{dW}{dH}. \quad (1)$$

Уравнение теплообмена для элемента будет:

$$fg_2 C_2 d\delta_2 = \alpha F dV (\delta_2 - t_{нов}), \quad (2)$$

где:  $f$  ( $м^2$ ) — площадь поперечного сечения слоя,  $\alpha F$  ( $ккал/м^3 \text{ °C ч}$ ) — объемный коэффициент теплоотдачи от газов к топливу,

$t_{нов}$  ( $°C$ ) — температура поверхности топлива,  $V$  ( $м^3$ ) — объем элементарного слоя.

Заменяя  $dV = fdH$  и сделав преобразования в уравнении (2), получим:

$$g_2 C_2 \frac{d\delta_2}{dH} = \alpha F (\delta_2 - t_{нов}). \quad (3)$$

Уравнение тепла, воспринятого плоским кусочком топлива за время  $d\tau$  будет:

$$dQ = \alpha (\delta_2 - t_{нов}) d\tau. \quad (4)$$

Это тепло пошло на испарение  $dW$  влаги

$$dQ = r \gamma_{cuyx} \delta dW. \quad (5)$$

Приравнивая уравнения (4) и (5) и преобразовывая их напишем:

$$\frac{dW}{d\tau} \gamma_{cuyx} \delta = \frac{\alpha}{r} (\delta_2 - t_{нов}), \quad (6)$$

Левая часть уравнения является скоростью сушки и если воспользоваться формулой Г. К. Филоненко

$$\psi = \frac{S}{S_0} = \frac{W^m}{A + \beta W^m}, \quad (7)$$

где:  $W$  — средняя абсолютная влажность материала (за вычетом равновесной влаги — которая для наших условий высокотемпературной сушки может быть принята = 0),

$\psi$  — градиент скорости сушки,

$S$  ( $кг/м^2 \text{ч}$ ) — скорость сушки в период падающей скорости,

$S_0$  ( $кг/м^2 \text{ч}$ ) — скорость сушки в период постоянной скорости,

$A$ ,  $\beta$  и  $m$  — опытные коэффициенты, определенные нами в лабораторных опытах по сушке для древесных опилок при разных высотах слоя отдельных засыпок.

тогда:

$$\frac{dW}{dW} \tau \gamma_{cuyx} \delta = S = S_0 \frac{W^m}{A + \beta W^m} = \frac{\alpha}{r} (\delta_2 - t_{нов}), \quad (8)$$

однако в период постоянной скорости сушки (когда  $t_m$  — температура мокрого термометра — постоянна)

$$S_0 = \frac{\alpha}{r} (\delta_e - t_m),$$

в период падающей скорости

$$S = -\gamma_c \frac{dW}{d\tau} \cdot \frac{1}{F},$$

где:  $F(\text{м}^2/\text{м}^3)$  — удельная поверхность топлива).

После преобразований можем написать уравнение, заменяющее (3)

$$\frac{\alpha F (\delta_e - t_m)}{r} \cdot \frac{W^m}{A + \beta W^m} = -g_m \frac{dW}{dH}$$

или уравнение теплообмена в окончательном виде:

$$\alpha F (\delta_e - t_m) W^m = -r (A + \beta W^m) g_m \frac{dW}{dH}. \quad (9)$$

Совместное решение уравнений (1) и (9) с применением метода графического дифференцирования по кривым опытных данных, позволило оценить значение основных величин, определяющих протекание процесса высокотемпературной подсушки топлива в шахте промышленной топки.

Эффективное значение теплоты испарения  $r$ , учитывающей также расход тепла на нагрев материала и теплопотери, оказывается равным в основном 1500—1800 ккал/кг, что вполне соответствует высокотемпературному режиму сушки, когда нагрев материала происходит на значительную величину. Достаточно устойчивым оказались эффективные значения объемного коэффициента теплообмена в слое  $\alpha F$  для древесных опилок, находящегося в пределах 1300—1500 ккал/куб. м °С час. До настоящего времени не имелось представлений даже о порядке этой величины для данного материала.

Полученные результаты исследования процессов в шахте дают наглядные представления об интенсивности сушки и могут быть использованы для расчетов в других условиях слоевой высокофорсированной сушки опилок.

Результаты исследования показывают, что интенсивность работы шахты при росте начальной влажности топлива снижается.

При работе топки на более сухом топливе, зоны с высокими температурами увеличиваются по высоте шахты и топливо больше времени находится под действием газов с высокой температурой. Так, например: при влажности в 46—50% опилки проходят зоны с температурой до 100°С за 15 минут; зоны с более высокой температурой опилки проходят за 10 минут, а в зоне пережима находятся только 2,2 мин.

Топка скоростного горения с кирпичной зажимающей решеткой устойчиво работает на древесных отходах с влажностью до 55—60%. Для использования древесных отходов, одубины, лигнина (с влажностью выше 60%) необходимо изыскивать новые пути по предварительной подсушке. Одним из возможных решений этой задачи является применение каскадной газовой сушилки, размещенной над шахтой топки скоростного горения и работающей за счет тепла уходящих газов.

В опытах было определено влияние золонакопления внизу шахты на интенсивность работы топки. Выявлено, что в первый день работы топки тепловое напряжение слоя равно  $2,13 \cdot 10^6$  ккал/кв. м час, а в конце шестого дня тепловое напряжение повышается до  $8,0 \cdot 10^6$  ккал/кв. м час, после чего, обычно, топка чистится. Неоднократные попытки увеличить срок между чистками не удавались, так как при этом обнаруживалось образование стекловидных сплавлений песка с золой в крупные куски и зашлаковывание окон в кирпичной зажимающей решетке в зоне активного горения, что приводило к снижению производительности топки.

### Внедрение в промышленность

Возможность использовать на топливо мелкие древесные отходы повышенной влажности, а также несложность конструкции топки скоростного горения (для установки которой не требуется подвала) привлекло внимание производственников. В результате, уже в 1956 году в промышленности работает около 50 топок скоростного горения в установках малой мощности и более 60 находится в процессе монтажа. Для сравнения работы топок различных конструкций на древесных отходах составлена таблица 2 средних показателей, полученных при испытаниях. Из сравнения опытных данных можно отметить, что топки скоростного горения обеспечивают более экономичную работу котельного агрегата и увеличивают его производительность, даже при сжигании древесных отходов повышенной влажности.

Длительные эксплуатационные наблюдения и материалы наших исследований работы топок скоростного горения с кирпичной зажимающей решеткой позволили разработать расчетно-технические параметры топок скоростного горения для сжигания различного вида древесных отходов и рекомендовать их для проектирования новых топочных устройств под котельными установками малой производительности.

Государственным проектным институтом «Гипролестранс» в содружестве с ЛТА им. С. М. Кирова разработан типовой проект «топок скоростного горения для локомобилей мощностью от 125 до 350 л. с.».

Основные данные из испытаний топок разного типа при работе на древесных отходах

Наименование показателей	Размерность	Топки для локомобиляй		Топки шахтно-ступенч.	Топки шахтно-ступенч.
		с скоростного горения	с наклонно-ступенчат. решетк.*		
Топливо				Дробл. опилки	Смесь опилки + дробленка
Влажность (относит.)	%	50	52,3	50,74	46
Теплотворн. способность	ккал/кг	2000	1850	1880	2240
Поверхн. нагрева котла	кв. м	70	70	70	100
Габарит топки:					
ширина	м	2,0	2,0	2,4	2,5
длина	м	2,6	2,6	3,2	3,7
высота	м	2,6	2,6	4,3	3,6
Расход топлива	кг/час	900	960	1143	1430
Паропроизводительность	»	1810	1713	1488	2050
Испарительность топлива	кг/кв. м час	2,0	1,8	1,3	1,43
Напряжен. поверхности нагрева	кг/кв. м час	26	24,8	21,3	20,5
Средн. CO <sub>2</sub> в уход. газах	%	16,6	14,8	13,4	11,95
Средн. коэффиц. избытки воздуха					
Средн. темпер. уход. газов	°С	290	300	297	259,8
К. п. д. котла	%	70,2	66,0	68,8	64,34
Потеря тепла с уходящ. газами	%	17,4	21,1	18,7	14,4
Потеря тепла с химическ. недожогом	%	1,4	1,5	2,5	1,64

\* по данным ЦНИИМЭ

Этот проект включен в унифицированные локомобильные электростанции для леспромхозов и утвержден Министром лесной промышленности СССР (приказ № 263 от 13/VIII—1956 г.) для обязательного применения при постройке новых электростанций в ЛПХ.

В нормали ЦКТИ на проектирование топок скоростного горения к котлам малой производительности кирпичные захватывающие решетки внесены как стандартный элемент конструкции. Целый ряд проектных организаций (Гипрорез, Гипроспецлес, Укрлеспром и др.) широко используют в своих работах типовой проект на бесподвальные топки скоростного горения к локомобильным установкам.

Гипролестрансом и ЛТА разработаны варианты топок скоростного горения для совместного сжигания опилок мелких отходов, крупно-кусковых отходов и дров. Один из них включен в типовые унифицированные локомобильные электростанции для ЛПХ.

В настоящее время с участием автора проводятся многочисленные работы по реконструкции старых топочных устройств на топки скоростного горения на лесопильных и деревообрабатывающих заводах трестов «Севзаплес», «Карелдрев» и других предприятиях лесной, бумажной и деревоперерабатывающей промышленности.

### Рекомендации для проектирования

Обобщение материалов исследований и эксплуатации топок скоростного горения на древесных отходах позволяет рекомендовать, для расчета и конструирования при проектировании новых топочных устройств и при модернизации старых топок к локомобилям и котельным установкам малой производительности, следующие основные положения:

1. Расчетные параметры топки и конструктивные размеры могут быть приняты из таблицы 3, в зависимости от производительности котельной установки (производительность принята применительно к обычным условиям работы котла без подогрева воды и воздуха и температуре уходящих газов около 300° С). При условиях, отличающихся от указанных, необходимо производительность пересчитать.

2. Ширина пережимом может быть выбрана по таблице 4, в зависимости от фракционного состава топлива — древесных отходов. Высота шахты над пережимом должна быть не менее трех размеров ширины первого пережима. В случае применения второго пережима, он может образоваться от установки обмурованной балки с водяным охлаждением или из набора балочных колосников, опирающихся на охлаждаемые балки. Это устройство должно устанавливаться под

16

Номер	Наименование	Единица измерения	Количественное значение							
			1	2	3	4	5	6	7	8
6.	Окна в решетке	штук				1	2	3	4	5
размеры: ширина . . . . .	мм		90	100	100	110	110	110	110	110
высота . . . . .	"				130					
7.	Живое сечение решетки . . . . .	%	26	30						
8.	Количество пережимов . . . . .	штук				1	2	2	2	2
9.	Активная зона горения									
размеры: ширина . . . . .	мм		900	1200	1500	2000	2200	2200	2200	2200
высота ср. . . . .	"			650		700—1000	1200	1200	1200	1400
длина . . . . .	"				1000		1200	1200	1200	1600
10.	Камера горения									
размеры (ориент.): ширина . . . . .	мм		900	1200	1500	2000	2200	2200	2200	2200
высота . . . . .	"			2200		2800	и бо ль ш е	2800	2800	1600
длина . . . . .	"				900		1200	1200	1200	1400
11.	Количество сопел для вторичн. воздуха . . . . .	штук				3	4	5	5	6
12.	Размеры сопла на выходе:									
ширина . . . . .	мм		100				110	110	110	120
высота . . . . .	"						65	65	65	80
13.	Габариты выносной топки (не для локомобилей):									
ширина . . . . .	мм		1920	1800	2100	3020	3020	3020	3020	3020
высота . . . . .	"			2600		2800	и бо ль ш е	2800	2800	3700

углом 30° к горизонтали с уклоном в сторону зажимающей решетки для возможности сползания топлива и золы.

3. В топку скоростного горения воздух (может быть не подогретый) подается вентилятором по воздухопроводам, в которых устанавливаются дроссельные заслонки для регулирования количества первичного и вторичного воздуха.

Таблица 4

Размеры пережимов в шахте

№/п	Наименование древесных отходов	Размеры отходов в мм	Ширина пережима в мм
<b>При одном пережиме</b>			
1. Опилки:			
хвойных пород . . . . .	обычные	350	
лиственных пород . . . . .	"	300	
<b>При двух пережимах</b>			
березы и твердых пород . . . . .	мелкие	1 пережим—450 2 пережим—300	
<b>При одном пережиме</b>			
2. Дробленка:			
из реек и горбылей . . . . .	50×50×100	500	
из сучьев и кроны . . . . .	до 60×100	480	
щепа из дров . . . . .	50×50×12	460	
3. Смесь:			
а) опилки 50% . . . . .	обычные		
дробленка 50% . . . . .	50×50×100	450	
б) опилки 50% . . . . .	обычные		
стружка 50% . . . . .	20×20×2	400	
<b>При двух пережимах</b>			
4. Те же смеси (а и б) . . . . .		1 пережим—600 2 пережим—400	
<b>С нижней колосниковой решеткой</b>			
5. Крупно-кусковые отходы . . . . .	100×30×300	700	
6. Смесь:			
опилки 50% . . . . .	обычные	600	
крупно-кусковые отходы 50% . . . . .	100×30×300		

Величина давления воздуха может выбираться по таблице 5, в зависимости от влажности и фракционного состава топлива.

4. При расчетах следует принимать:

а) коэффициент избытка воздуха = 1,2 при  $W^P = 40\%$  и 1,4 при  $W^P = 55\%$  и распределять подачу воздуха: в зону активного горения — 70% (первичный); в камеру горения — 30% (вторичный);

б) тепловые потери: с химическим недожогом в % = 2—3; с механическим недожогом в % = 1—2 (первые цифры при сжигании щепы, мелких и крупно-кусковых отходов, вторые цифры при сжигании опилок и смеси дробленки с опилками в большом количестве).

Таблица 5

Необходимое давление первичного воздуха \* в зоне активного горения топки

№/п	Наименование древесных отходов	Влажность (относит.) в %	Напор в мм в. ст.	Примечание
<b>1. Опилки:</b>				
хвойных пород . . . . .		45—55	40—35	
лиственных пород . . . . .		45—55	50—40	
березы . . . . .		40	20—25	При 2 пережимах
<b>2. Дробленка:</b>				
из реек и горбылей . . . . .		45—55	25—20	
из лесосечных отходов . . . . .		50	12—15	
<b>3. Смесь:</b>				
опилки 50% . . . . .		45—55	32—25	
дробленки 50% . . . . .				
<b>4. Смесь:</b>				
опилки 50% . . . . .		45—55	16—20	При 2 пережимах
дробленки 50% . . . . .				
<b>5. Крупно-кусковые отходы . . . . .</b>				
		50	8—10	С нижней колосниковой решеткой
<b>6. Смесь:</b>				
опилки 50% . . . . .				
крупно-кусковые отходы 50% . . . . .		45—55	18—20	"

\* Подача вторичного воздуха осуществляется от воздухопровода дутья первичного воздуха.

## СПИСОК

опубликованных статей В. С. Шереметьева по материалам диссертации

1. Топки скоростного горения для древесных отходов, Журнал «Лесная промышленность», № 8, 1953.
2. Топки скоростного горения для локомобилей мощностью от 125 до 350 л. с., Техническая информация Гипролестранса, июль 1953 г.
3. Локомобильные топки скоростного горения, работающие на лесосечных отходах, Журнал «Лесная промышленность», № 11, 1954.
4. Опыт применения топок скоростного горения ЦКТИ системы Померанцева на предприятиях треста «Севзаплес», Бюллетень № 59, ЦНИЛ, 1954.
5. Топки скоростного горения для локомобилей, Техническая информация Гипролестранса, июль 1954 г.
6. Опыты сжигания древесных отходов повышенной влажности. Исследование шахты в топке скоростного горения, Техническая информация по результатам научно-исследовательских работ ф-та МТД ЛоЛЛТА имени С. М. Кирова, № 20 и 21, 1955.
7. Использование лесосечных отходов для энергетических целей, Труды ЛоЛЛТА им. С. М. Кирова, № 72, 1955.
8. Опыт внедрения и эксплуатации топок скоростного горения для древесных отходов, Бюллетень № 65, ЦНИЛ, 1956.
9. Бесподвальные топки для паросиловых установок леспромхозов, Труды ЛоЛЛТА им. С. М. Кирова, № 83, 1958.

Подп. к печ. 10/V-58 г.  
Тир. 100

M-18658

Объем 1<sup>1</sup>/<sub>4</sub> печ. л.  
Зак. 553

Бум. 60x84  
БЕСПЛАТНО

Типолитография Ленинградской ордена Ленина лесотехнической академии  
имени С. М. Кирова. Ленинград, Институтский, 5.